

АЭРОМЕХАНИЧЕСКОЕ ОБЕЗВОЖИВАНИЕ МЕЛКОДИСПЕРСНОГО УГЛЯ

Скибенко В.Н., директор ЦОФ «Ровеньковская»
ДХК «Ровенькиантрацит»

Рассмотрены сущность, структурная схема и особенности процесса аэромеханического обезвоживания мелких классов углей.

Examined substance, block diagram and features of process of aeromechanical dehydration of fine grains of coal.

Количество угольной мелочи в перерабатываемом сырье отечественных предприятий постоянно увеличивается, что обуславливается высокомеханизированными потоковыми технологиями добычи и транспортирования угля, ухудшением горно-геологических условий, увеличением длины транспортных цепочек. За последние 10 лет содержание в рядовом угле классов менее 1 мм возросло в 1,5 раза и достигло в среднем 20% [1]. Это обуславливает необходимость совершенствования существующих и поиска новых высокоэффективных методов обогащения и обезвоживания мелкодисперсных углей.

Среди новых методов механического обезвоживания мелкодисперсных углей, появившихся в последнее время, особого внимания заслуживает метод механического срыва водной пленки высокоскоростным потоком воздуха (газа). Исследованиями установлено, что используя поток газа скоростью 40-160 м/с можно уменьшить влажность угля крупностью 0,25-1,0 мм до 9-12%. При этом удаляется 70-80% первоначальной поверхностной влаги угля. Эффект обезвоживания зафиксирован при скорости газа выше 30 м/с. Время удаления влаги находится на уровне десятых долей секунды [2].

Выполненные отдельные исследования показали высокие технологические возможности и простоту реализации нового механического метода обезвоживания зернистого материала. Однако, в настоящее время процесс механического срыва водной пленки не подготовлен ни в научно-теоретическом плане, ни в технологическом для использования на современных обогатительных фабриках. Создание теории этого процесса и разработка соответствующей технологии являются весьма актуальными.

Системное рассмотрение процесса механического срыва водной пленки возможно на основе предлагаемой нами структурной модели (рис.1). Технологические зоны процесса обезвоживания эжектированием представлены на рис.2.

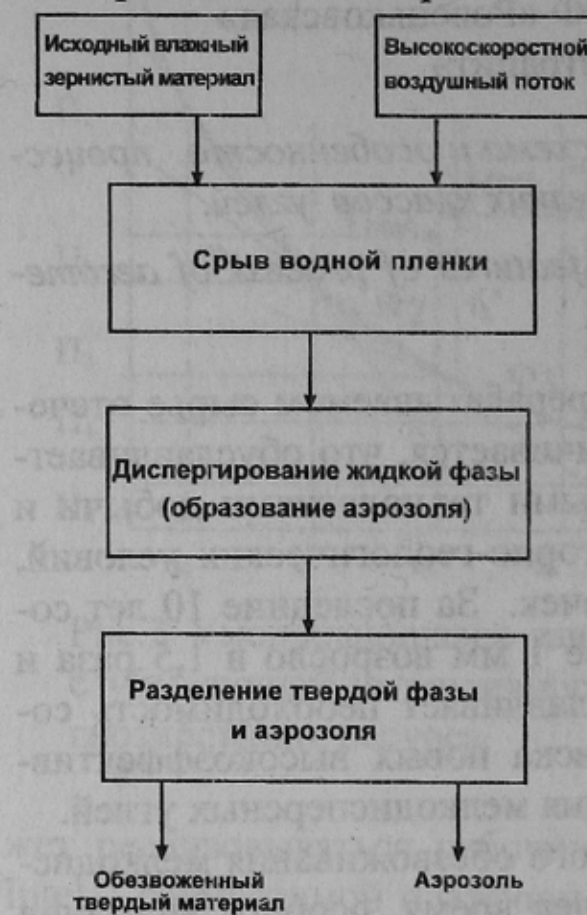
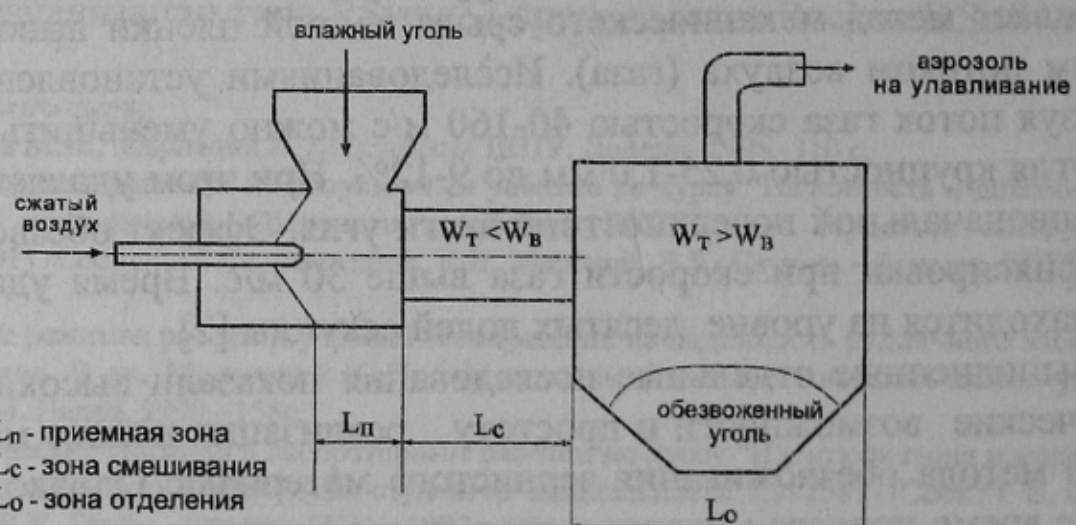


Рис.1 - Структурная схема процесса обезвоживания зернистого материала путем срыва водной пленки



W_T - средняя скорость частиц обезвоживаемого материала

W_B - скорость воздушного потока

Рис.2 – Технологические зоны процесса обезвоживания эжектированием

Процесс влагоотделения эжектированием представляет собой совокупность элементарных актов срыва водной пленки с поверхности угольных зерен, последующего диспергирования отделенной жидкой фазы в турбулентном потоке воздуха с образованием аэрозоля и разделения обезвоженного угля и аэрозоля.

Решающим из указанных субпроцессов является, очевидно, срыв водной пленки. Основное условие протекания этого процесса заключается в неравенстве скоростей инжектирующего потока воздуха W_n и обезвоживаемого материала W_t . Наибольшая разность $\Delta W = |W_n - W_t|$ наблюдается на срезе сопла и в зоне перемешивания L_n (рис.2). В дальнейшем в зоне разгона L_p (разгонная трубка) скорости W_n и W_t выравниваются. Как правило, на выходном срезе разгонной трубы $W_n = W_t$. В зоне отделения L_o (бункер-накопитель угля) скорость воздуха W_n быстро уменьшается за счет резкого падения давления. При этом более инерционные частицы обезвоживаемого материала имеют скорость $W_t > W_n$. Образующийся при диспергировании водной фазы аэрозоль (туман) удаляется из зоны отделения L_o вентилятором.

В зонах, где $\Delta W \neq 0$ сдвиговое усилие F_n воздушного потока по отношению к водной пленке на поверхности частиц согласно [3] равно:

$$F_n = C_x \cdot \rho_e \cdot S_\phi \cdot \frac{\Delta W^2}{2}, \quad (1)$$

где C_x – коэффициент сопротивления; ρ_e – плотность воздуха; S_ϕ – площадь фронта атаки.

Энергия исходного воздушного потока расходуется на механический удар, сообщение твердой фазе кинетической энергии, на трение в рабочем сопле, приемной камере и камере смешения. В нашем случае особый интерес представляет энергия механического удара, часть которой расходуется на срыв воздушной пленки в процессе аэромеханического обезвоживания.

Если пренебречь потерями энергии на трения, то затраты энергии воздушного потока на удар составляют:

$$\Delta E_{my} = E_{bx} - E_{vyx} \quad (2)$$

где E_{bx} – суммарная энергия инжектируемого и воздушного потоков во входном сечении струйного аппарата; E_{vyx} – энергия двухфазного потока в выходном сечении камеры смешения.

Для E_{bx} можно записать:

$$E_{\text{вх}} = E_s + E_m = \frac{q_s W_s^2}{2} + \frac{q_m W_m^2}{2} \quad (3)$$

где: q_s , q_m – массовые расходы воздуха и обезвоживаемого материала.

Для $E_{\text{вых}}$ имеем:

$$E_{\text{вых}} = \frac{(q_s + q_m)}{2} W_n^2 \quad (4)$$

W_n – скорость двухфазного потока в выходном сечении.

Найдем выражение для W_n исходя из закона сохранения количества движения:

$$(q_s + q_m) \cdot W_n = q_s \cdot W_s + q_m W_m \quad (5)$$

Из уравнения (5) имеем:

$$W_n = \frac{q_s \cdot W_s + q_m W_m}{q_s + q_m} \quad (6)$$

Подставляя уравнение (6) в (4) для $E_{\text{вых}}$ получим:

$$E_{\text{вых}} = \frac{1}{2} \cdot \frac{(q_s \cdot W_s + q_m W_m)^2}{q_s + q_m} \quad (7)$$

Тогда, используя уравнения (2), (3) и (7) для ΔE после преобразований имеем:

$$\Delta E_{\text{мж}} = E_{\text{вх}} - E_{\text{вых}} = \frac{q_s q_m}{2(q_s + q_m)} (W_s - W_m)^2 \quad (8)$$

Аналогичное выражение получено авторами [5], которые в дальнейшем находят долю энергии механического удара по отношению к $E_{\text{вх}}$:

$$\Delta E_{\text{мж}}^{\text{отн}} = \frac{\Delta E_{\text{мж}}}{E_{\text{вх}}} = \frac{K_u}{1 + K_u} \cdot \frac{\left(1 - \frac{W_m^2}{W_s^2}\right)^2}{\left(1 + K_u \cdot \frac{W_m^2}{W_s^2}\right)^2} \quad (9)$$

где K_u – коэффициент инжекции.

На рис.3 приведены зависимости $\Delta E_{\text{мж}}^{\text{отн}} \left(\frac{W_m}{W_s}\right)$ при $K_u = \text{var}$. Как

видно из полученных кривых, с уменьшением скорости твердого материала W_t во входном сечении струйного аппарата при неизменной

скорости воздушного потока, т.е. при снижении величины $\frac{W_m}{W_e}$ (что соответствует росту величины $\Delta W = W_e - W_m$), доля энергии воздушного потока расходуемого на механический удар E_{my}^{omn} возрастает. Причем, при $\frac{W_m}{W_e} = 0$ $\Delta E_{my}^{omn} = \max$ и определяется коэффициентом инжекции K_u .

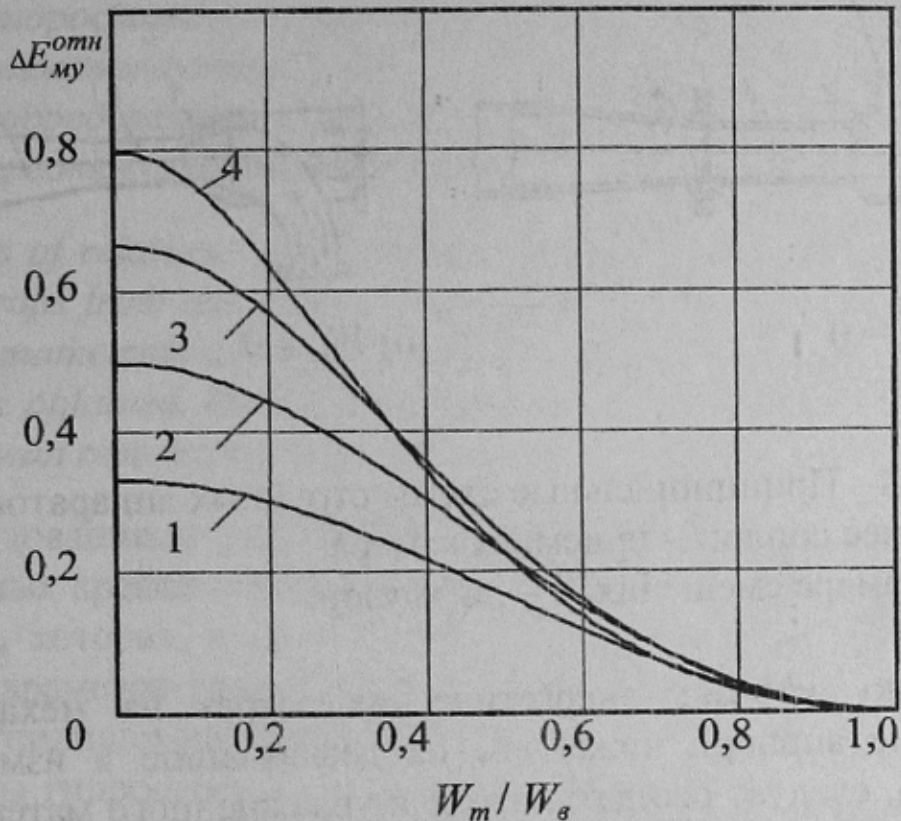


Рис.3 - Зависимости $\Delta E_{my}^{omn}(\frac{W_m}{W_e})$ при различных значениях коэффициента инжекции K_u :
1 - $K_u = 0,5$; 2 - $K_u = 1,0$; 3 - $K_u = 2,0$; 4 - $K_u = 4,0$.

Из полученных данных можно сделать два вывода. Во-первых, наиболее благоприятным для аэромеханического обезвоживания в струйных аппаратах является соблюдение условия $W_t = 0$. Последнее выполняется в одной из двух возможных принципиальных конструктивных схем струйных аппаратов, обеспечивающей угол подачи твердого к потоку воздуха $\alpha = 90^\circ$ (см.рис.4, схема а).

Во-вторых, фактором регулирующим долю энергии на удар при $W_t = 0$ является коэффициент инжекции. При этом имеем:

$$\Delta E_{my}^{отн} = \frac{K_u}{1 + K_u}$$

Полезная энергия влагоудаления составляет часть энергии механического удара, которая, кроме того, расходуется, по-видимому, на различные виды механических деформаций твердого материала, его частичное разрушение и нагрев.

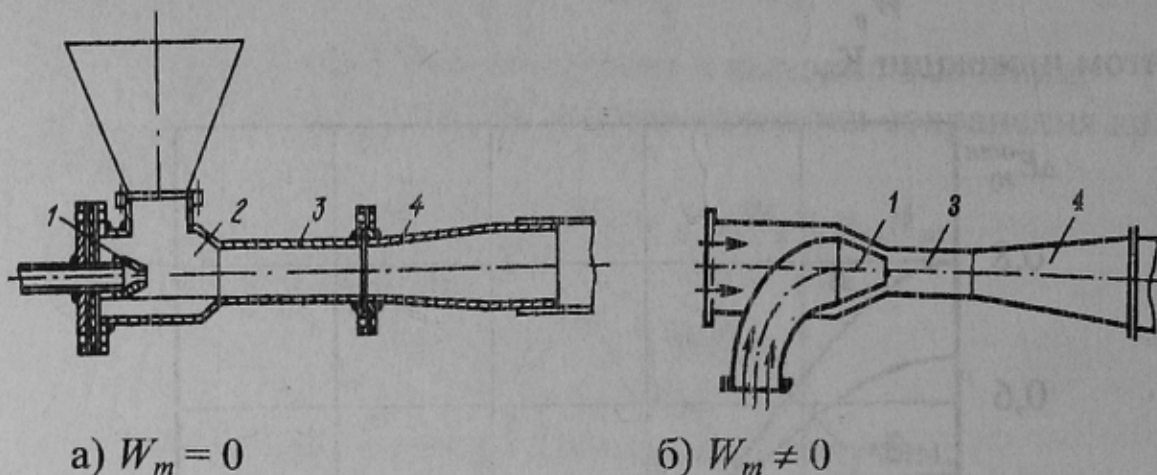


Рис. 4 - Принципиальные схемы струйных аппаратов:
рабочее сопло; 2- приемная камера;
3 – камера смешения; 4 – диффузор.

Поскольку уровень энергетических затрат на механическое обезвоживание априори ниже чем на деформацию и измельчение твердой фазы, следует ожидать, что для увлажненного материала основная часть энергии механического удара расходуется на обезвоживание. В целом, определение соотношений между указанными видами энергозатрат на удар представляет собой самостоятельную научную задачу и требует специальных исследований.

Список источников.

1. Білецький В.С., Сергєев П.В., Папушин Ю.Л. Теорія і практика селективної масляної агрегації вугілля. - Донецьк: Грань, 1996. - 264 с.
2. Филиппов В.А., Подлуцкий Л.Д. Интенсификация обезвоживания мелких продуктов обогащения // Уголь. - 1981. - № 12, С.47-48.
3. Акунов В.И. Струйные мельницы.-М.: Машиностроение,1967.-263 с.
4. Соколов Е.Я., Зинтер Н.М. Струйные аппараты. -М.: Энергоатомиздат, 1989.- 352 с.